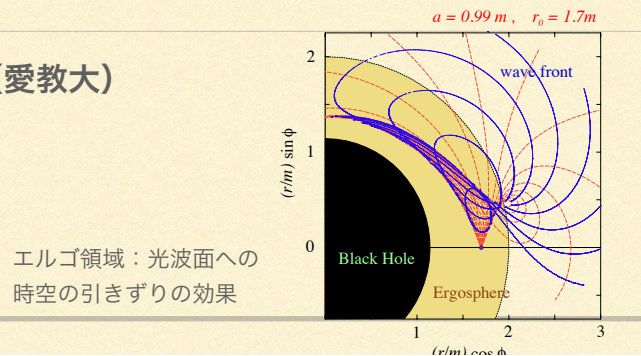
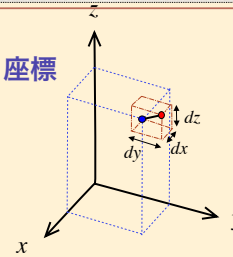


BHからのエネルギー引き抜き： イントロダクション

高橋真聡 (愛教大)



デカルト座標

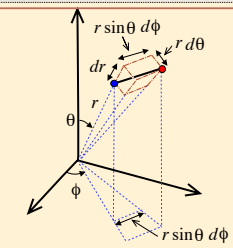


3次元

$$\Delta s^2 = \Delta x^2 + \Delta y^2 + \Delta z^2$$

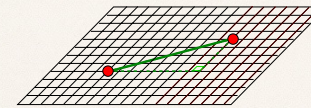
2点間距離 → ピタゴラスの定理

球座標

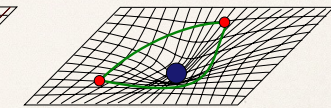


位置 (座標値) を
角度と距離で指定

$$\Delta s^2 = \Delta r^2 + r^2 \Delta \theta^2 + r^2 \sin^2 \theta \Delta \phi^2$$



平坦な時空



曲がった時空

4次元

$$\Delta s^2 = -c^2 \Delta t^2 + \Delta r^2 + r^2 \Delta \theta^2 + r^2 \sin^2 \theta \Delta \phi^2$$

$$\Delta s^2 = - \left(1 - \frac{2M}{r} \right) c^2 \Delta t^2 + \left(1 - \frac{2M}{r} \right)^{-1} \Delta r^2 + r^2 \Delta \theta^2 + r^2 \sin^2 \theta \Delta \phi^2$$

アインシュタイン方程式の解

時空の歪みを示す

時空の幾何学 (1)

ブラックホールの曲がった時空

我々のすむ宇宙は、4次元の世界 (時間+3次元空間)

平坦な時空： 『特殊相対論』 で表される

慣性系 $\Delta s^2 = -c^2 \Delta t^2 + \Delta r^2 + r^2 \Delta \theta^2 + r^2 \sin^2 \theta \Delta \phi^2$

曲がった時空： 大域的には 『一般相対論』 が必要

加速度系： 重力がある場合、宇宙膨張している場合、など

$$\Delta s^2 = - \left(1 - \frac{2M}{r} \right) c^2 \Delta t^2 + \left(1 - \frac{2M}{r} \right)^{-1} \Delta r^2 + r^2 \Delta \theta^2 + r^2 \sin^2 \theta \Delta \phi^2$$

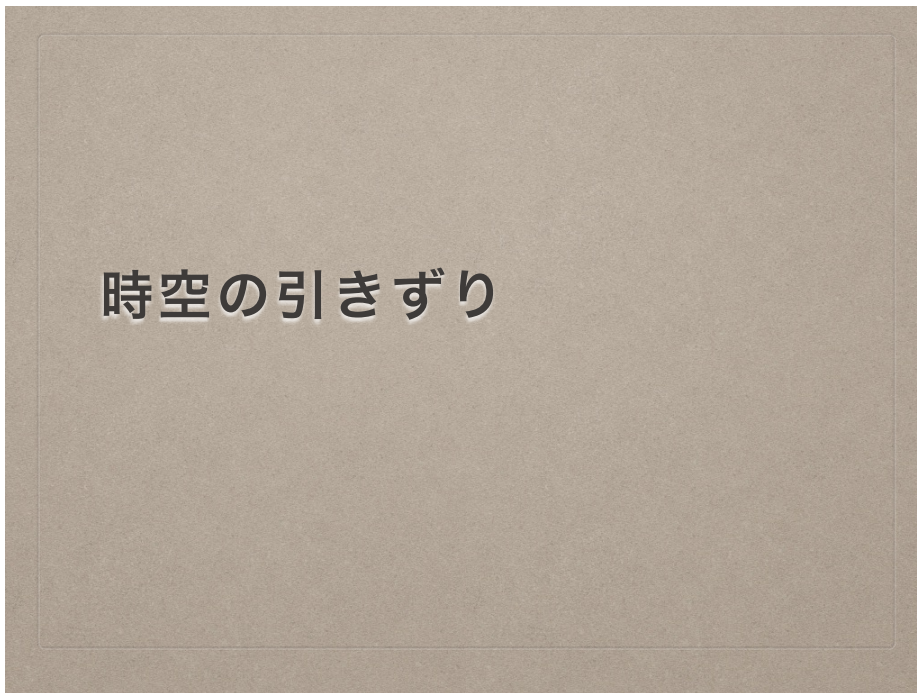
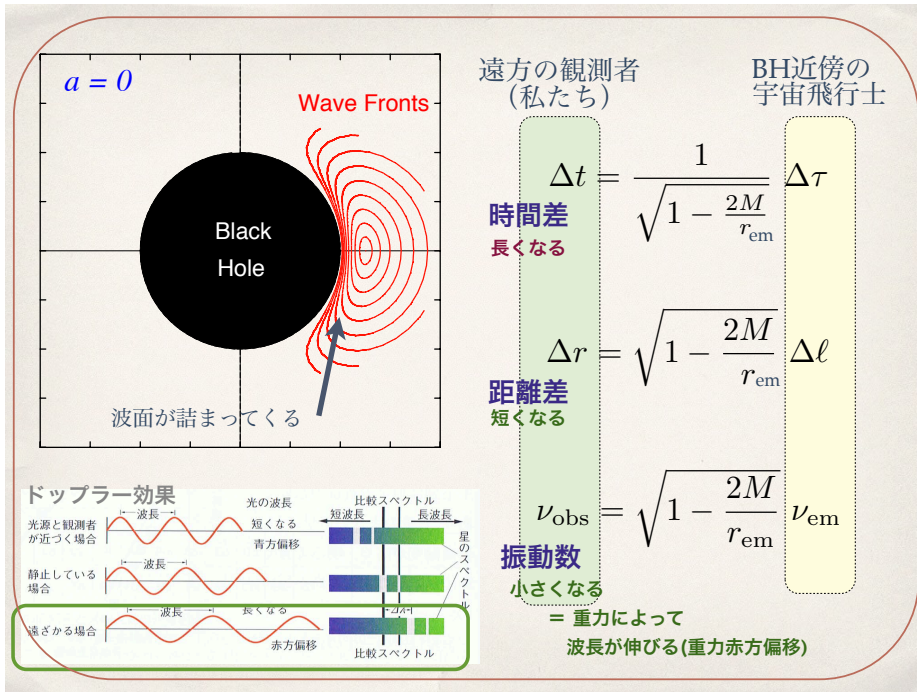
地球の観測者

ただし曲がった時空でも、

局所的には 『特殊相対論』 が適用できる

$$\Delta s^2 = -c^2 \Delta \tau^2 + \Delta r^2 + r^2 \Delta \theta^2 + r^2 \sin^2 \theta \Delta \phi^2$$

BH近くの人

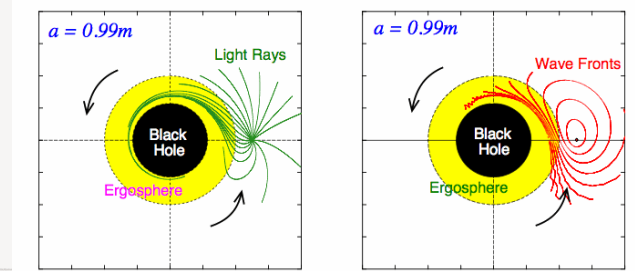


時空の引きずり

$$ds^2 = -\alpha^2 dt^2 + g_{jk}(dx^j + \beta^j dt)(dx^k + \beta^k dt)$$

$\alpha = \left(\frac{d\tau}{dt}\right)_{\text{FIDO}} = \text{"lapse function"} = \text{"redshift factor"}$

$\beta^j = -\frac{dx^j}{dt} = \text{"shift function"}$



時空の引きずり

自転するブラックホール

$$ds^2 = g_{tt} dt^2 + 2g_{t\phi} dt d\phi + g_{\phi\phi} d\phi^2 + g_{rr} dr^2 + g_{\theta\theta} d\theta^2$$

$$= -\alpha^2 dt^2 + \frac{\mathcal{A}}{\Sigma} \sin^2 \theta (d\phi - \omega dt)^2 + \frac{\Sigma}{\Delta} dr^2 + \Sigma d\theta^2$$

$d\tilde{\phi}^2$

lapse function: $\alpha^2 = \frac{\Sigma \Delta}{\mathcal{A}} \longrightarrow 0$

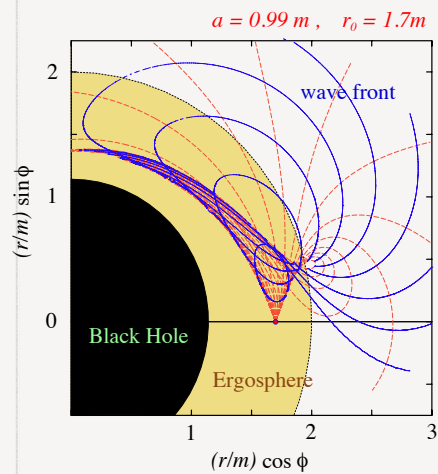
shift vector: $\beta^\phi = -\omega = -\frac{2mar}{\mathcal{A}} \longrightarrow \frac{a}{2mr_+} \equiv \omega_H$

$\Sigma = r^2 + a^2 \cos^2 \theta$

$\mathcal{A} = (r^2 + a^2)^2 - a^2 \Delta \sin^2 \theta$

$\Delta = r^2 - 2mr + a^2 = (r - r_+)(r - r_-)$

ERGOSPHERE



Space-time dragging effect
by rotating black hole

Negative potential region
→ "Penrose process"

Magnetic field lines are also
dragged near the horizon.

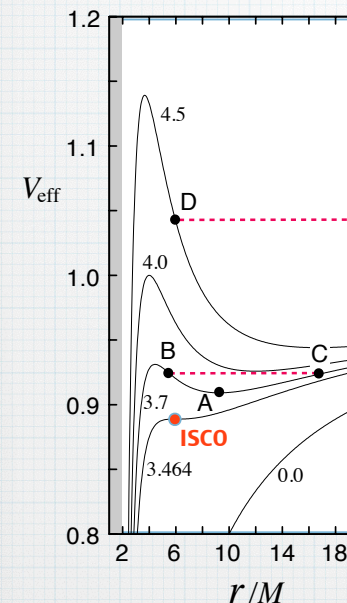
Energy extraction due to
magnetic torque:
"Blandford-Znajek process"

PENROSE PROCESS

BH回転エネルギーの引き抜き機構

いくつかあります

- **Penrose process**
粒子/光子
負のポテンシャル領域が存在すること
磁気圏の場合 Ergosphere外でも可能
- **Superradiance radiation**
波
ergoregion / super-sonic region が存在すること
- **Blandford-Znajek (BZ) process**
磁場
磁力線がBHの自転方向に引きずられていること
- **Negative Energy MHD inflows**
磁気流体
流体に比して、磁場が優勢である時に可能



Effective Potential

Schwarzschild Black Hole

from equation of motion (radial)

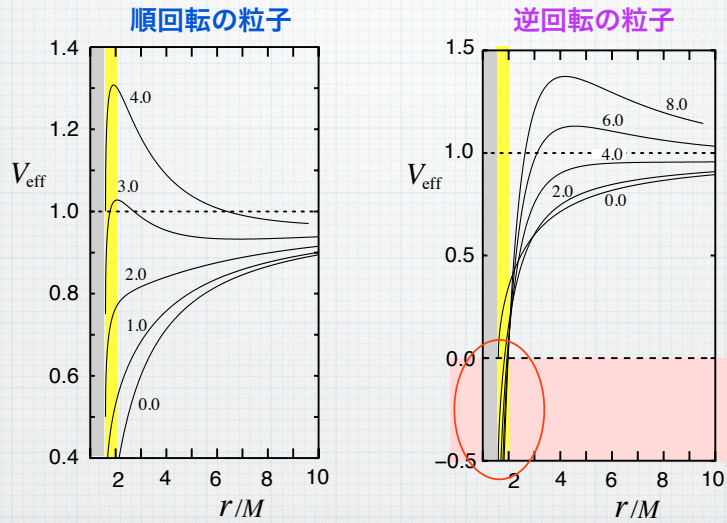
$$m^2 \dot{r}^2 = E^2 - V(r)$$

$$V(r) \equiv \left(1 - \frac{2M}{r}\right) \left(m^2 + \frac{L^2}{r^2}\right)$$

- A : circular orbit
- B-C : elliptical orbit
- D : paraboloidal orbit
- ISCO : inner most stable circular orbit

Effective Potential

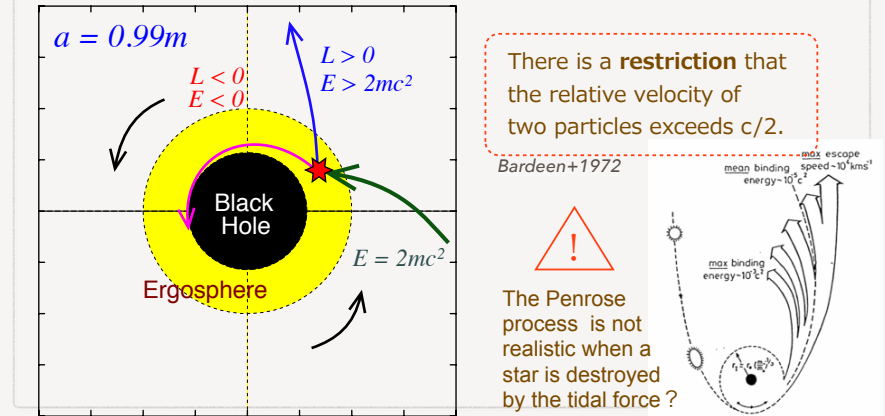
カー・ブラックホール



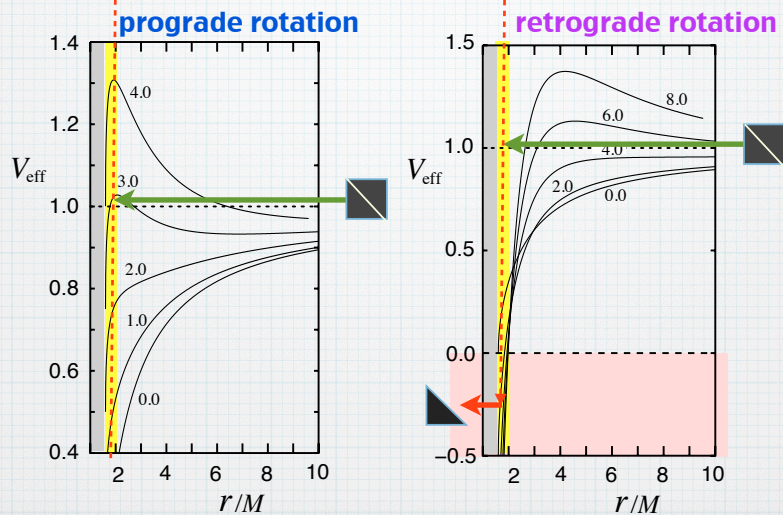
PENROSE PROCESS (1969)

Accretion of **negative** energy particles

Outgoing particle can release higher than incident energy.



Effective Potential



Restriction on Penrose-Process

Wagh & Padhich (1989)

Inertial frame of particle 1 : $e_{(t)}^i = U_1^i$, $e_{(a)}^i = (a = 1, 2, 3)$

Energy of particle 1 :

$$E_1 = U_1^\mu k_\mu = U_1^{(\alpha)} k_{(\alpha)} = k_{(t)} \quad U_1^{(\alpha)} = (1, 0, 0, 0)$$

Energy of particle 2 (after deviation) :

$$E_2 = U_2^\mu k_\mu = U_2^{(\alpha)} k_{(\alpha)} = \gamma k_{(t)} + \gamma v^{(\alpha)} k_{(\alpha)} = \gamma k_{(t)} + \gamma |\mathbf{v}| |\mathbf{k}| \cos \theta$$

$$U_2^{(\alpha)} = (\gamma, \gamma \mathbf{v}) \quad \gamma = (1 - |\mathbf{v}|^2)^{-1/2}$$

relative velocity

$$k^\mu k_\mu = k^{(\alpha)} k_{(\alpha)} = k_{(t)} k^{(t)} + k_{(a)} k^{(a)} = E_1^2 - |\mathbf{k}|^2$$

$$k^\mu k_\mu = g_{tt}$$

$$|\mathbf{k}| = (E_1^2 - g_{tt})^{1/2} \quad -1 \leq \cos \theta \leq 1$$

Restriction on Penrose-Process (2)

Wagh & Padhiach(1989)

$$\gamma [E_1 - |v|(E_1^2 - g_{tt})^{1/2}] \leq E_2 \leq \gamma [E_1 + |v|(E_1^2 - g_{tt})^{1/2}]$$

for Penrose Process $E_2 < 0$

$$|v| \geq \frac{E_1}{\sqrt{E_1^2 - g_{tt}}}$$

Estimate of the velocity of the lower limit

$$|v| \geq \frac{1}{2}c$$

strict condition !

$a = M$
 $E_1 \geq 1/\sqrt{3}$ (ISCO)
 $g_{tt}(r_H) \geq -1$
 near the Event Horizon

When electromagnetic field exist, the restriction of the limitation on Penrose process is relaxed.

What is the Extracted energy ?
 Rotational energy of a Black Hole
 Electrostatic potential energy

due to the dragging effects of Kerr space-time

MAGNETIC PENROSE PROCESS

(Parasana 1978)

真空磁気圏として扱う

Ergosphere 外に
 負のポテンシャル領域が可能

There is a restriction that the relative velocity of two particles exceeds $c/2$.

静電ポテンシャルに由来

荷電粒子に帯するペンローズ過程
 制限緩くなる (Wald 1974)

OK!

Restriction on Penrose-Process (3)

Wagh & Padhiach(1989)

Electrostatic potential $\Phi (= A_t)$ in Kerr spacetime

$$\gamma [E_1 - |v|(E_1^2 - g_{tt})^{1/2}] - e_2\Phi \leq E_2 \leq \gamma [E_1 + |v|(E_1^2 - g_{tt})^{1/2}] - e_2\Phi$$

$$\gamma [E_1 - |v|(E_1^2 - g_{tt})^{1/2}] \leq e_2\Phi \leftarrow E_2 < 0$$

for Magnetic Penrose Process

$$0 < e_2\Phi < E_1 \quad |v| < 1/2 \text{ is possible}$$

$$E_1 < e_2\Phi \quad \text{no-restrictions !}$$

SUPER-RADIANCE RADIATION

Super-radiance (2)

と書ける。左辺は r のみの関数、右辺は θ だけの関数であるが、これらが等しい値をもつことより、おのおのが定数 (A とおく) でなければならない。このことより (1.11) 式を以下の二つの式

$$\frac{d}{dr} \left(\Delta \frac{dR}{dr} \right) + \left[\frac{\omega^2(r^2 + a^2)^2 - 4Mar\omega m + a^2 m^2}{\Delta} - A \right] R = 0, \quad (1.12)$$

$$\frac{1}{\sin \theta} \frac{d}{d\theta} \left(\sin \theta \frac{dS}{d\theta} \right) - \left(a^2 \omega^2 \sin^2 \theta + \frac{m^2}{\sin^2 \theta} - A \right) S = 0. \quad (1.13)$$

に分離 (変数分離) できる。

関数 S は $\theta = 0, \pi$ で regular でなければならないが、(1.13) 式は A についての固有値方程式となる。この関数 S は、 $a\omega = 0$ である最もシンプルな場合に “spheroidal wave function” となるのだが、その解は、 $S(\theta) = P_{\ell m}(\cos \theta)$, $A = \ell(\ell + 1)$ となる。

一方、(1.12) 式は、事象の地平面で発散してしまう。この事情を回避するために、動径方向の長さに関して変数変換を行う。すなわち、

$$\frac{dr^*}{dr} = \frac{r^2 + a^2}{\Delta} \quad (1.14)$$

を満たすような半径 r^* を導入する (“tortoise” coordinate)。この座標変換により、 r 座標について ($r_H, +\infty$) であった変域が、 r^* 座標では $(-\infty, +\infty)$ の変域に変更される (有限の半径に特異点が現れなくなる)。この座標変換により、(1.12) 式は

$$\frac{d^2 R}{dr^{*2}} + \frac{2r\Delta}{(r^2 + a^2)^2} \frac{dR}{dr^*} + \left[\omega^2 + \frac{a^2 m^2 - 4Marm\omega - \Delta A}{(r^2 + a^2)^2} \right] R = 0 \quad (1.15)$$

Super-radiance (1)

Boyer-Lindquist coordinate (Kerr geometry) における波動方程式 (スカラー場) は、

$$\frac{1}{\sqrt{-g}} [(\sqrt{-g})g^{\alpha\beta}\Phi_{,\alpha}]_{,\beta} = 0 \quad (1.8)$$

である。Kerr 時空の場合に、これを具体的に書き下すと、

$$\left[-\frac{(r^2 + a^2)^2}{\Delta} + a^2 \sin^2 \theta \right] \frac{\partial^2 \Phi}{\partial t^2} - \frac{Mar}{\Delta} \frac{\partial^2 \Phi}{\partial t \partial \phi} + \left(\frac{1}{\sin^2 \theta} - \frac{a^2}{\Delta} \right) \frac{\partial^2 \Phi}{\partial \phi^2} + \frac{\partial}{\partial r} \left(\Delta \frac{\partial \Phi}{\partial r} \right) + \frac{1}{\sin \theta} \frac{\partial}{\partial \theta} \left(\sin \theta \frac{\partial \Phi}{\partial \theta} \right) = 0. \quad (1.9)$$

と表せる。ここで $\sqrt{-g} = (r^2 + a^2 \cos^2 \theta) \sin \theta$ である。この方程式は、以下のように

$$\Phi(t, r, \theta, \phi) = e^{-i\omega t} e^{im\phi} R(r) S(\theta) \quad (1.10)$$

とおくと変数分離できる。これを適用すると、(1.9) 式は、

$$\begin{aligned} & \frac{1}{R} \frac{d}{dr} \left(\Delta \frac{dR}{dr} \right) + \omega^2 \frac{(r^2 + a^2)^2}{\Delta} - \frac{4Mar\omega m}{\Delta} + \frac{a^2 m^2}{\Delta} \\ & = -\frac{1}{S} \frac{d}{d\theta} \left(\sin \theta \frac{dS}{d\theta} \right) + a^2 \omega^2 \sin^2 \theta + \frac{m^2}{\sin^2 \theta}. \end{aligned} \quad (1.11)$$

と書ける。左辺は r のみの関数、右辺は θ だけの関数であるが、これらが等しい値をもつことよ

Super-radiance (3)

と書き換えられる。遠方 ($r \rightarrow \infty$) においては、上式は

$$\frac{d^2 R}{dr^{*2}} + \frac{2}{r} \frac{dR}{dr^*} + \omega^2 R \sim 0 \quad (1.16)$$

となり、その解は

$$R \sim \frac{1}{r} e^{\pm i\omega r^*} \quad (1.17)$$

となる。この解は、遠方での ingoing wave と outgoing wave を与える。事象の地平面 ($\Delta \rightarrow 0$) では、(1.15) 式は

$$\frac{d^2 R}{dr^{*2}} + \left[\omega^2 - \frac{2am\omega}{2Mr_H} + \frac{a^2 m^2}{(2Mr_H)^2} \right] R = \frac{d^2 R}{dr^{*2}} + [\omega - m\omega_H]^2 R = 0 \quad (1.18)$$

となる。ここで、 $\omega_H = a/(2Mr_H)$ である。この場合の解は、

$$R \sim e^{\pm i(\omega - m\omega_H)r^*} \quad (1.19)$$

となる。

事象の地平面のすぐ外側にいる観測者 (ergosphere 内にいて、 ϕ 方向に角速度 $\Omega = d\phi/dt \sim \omega_H > 0$ で回転する) にとっては、

$$\Phi = e^{-i\omega t} e^{im\phi} e^{\pm i(\omega - m\omega_H)r^*} S(\theta) \quad (1.20)$$

$$= e^{-i(\omega - m\omega_H)t} e^{\pm i(\omega - m\omega_H)r^*} e^{im(\phi - \omega_H t)} S(\theta) \quad (1.21)$$

となる。このうち $e^{-i(\omega - m\omega_H)r^*}$ の方が、ingoing wave に対応する。

Super-radiance (4)

地平面を横切る波のエネルギーフラックス

スカラー場のエネルギー・モーメント・テンソルは、

$$4\pi T_{\alpha\beta} = \Phi_{,(\alpha} \Phi_{,\beta)}^* - \frac{1}{2} g_{\alpha\beta} |\Phi_{,\gamma} \Phi^{,\gamma}| \quad (1.22)$$

ここで Φ^* は complex conjugation. 地平面を横切るエネルギーフラックスは、energy flux vector $\mathcal{E}^r = T^{r\mu} \xi_\mu$ を地平面 ($r = r_H$) にわたって表面積分した

$$\frac{dE}{dt} = \int T_t^r \sqrt{-g} d\theta d\phi \quad (1.23)$$

で得られる。ここで、

$$4\pi T_t^r = \text{Re}(\Phi_{,t} \Phi^{*,t}) = \text{Re} \left(\Phi_{,t} \Phi_{,r}^* \frac{r^2 + a^2}{\Sigma} \right) = \omega(\omega - m\omega_H) S^2(\theta) \frac{2Mr_H}{\Sigma} \quad (1.24)$$

であることより、

$$\frac{dE}{dt} = \omega(\omega - m\omega_H) \frac{2Mr_H}{4\pi} \int S^2(\theta) \sin\theta d\theta d\phi \quad (1.25)$$

を得る。上式より、 $(\omega - m\omega_H) < 0$ のとき、 $dE < 0$ となるとわかる。すなわち、波の位相速度がブラックホールの角速度より小さい場合 ($0 < \omega/m < \omega_H$) には、ブラックホールのエネルギーが地平面の外部に運ばれることになる。この波によるエネルギー引き抜き機構は “superradiance” と呼ばれる。

(一般相対論での) 磁場の表現 (1)

・ マクスウェル方程式

$$\begin{aligned} \text{div} \mathbf{E} &= 4\pi \rho_e & \text{div} \mathbf{B} &= 0 \\ \text{rot} \mathbf{E} &= -\frac{1}{c} \frac{\partial \mathbf{B}}{\partial t} & \text{rot} \mathbf{B} &= \frac{4\pi}{c} \mathbf{j} + \frac{1}{c} \frac{\partial \mathbf{E}}{\partial t} \end{aligned}$$

・ 電磁場テンソル (特殊相対論)

$$F^{\mu\nu} = \begin{pmatrix} 0 & -E_x & -E_y & -E_z \\ E_x & 0 & -B_z & B_y \\ E_y & B_z & 0 & -B_x \\ E_z & -B_y & B_x & 0 \end{pmatrix}$$

$$j^\mu = (c\rho_e, j^i)$$

$$\begin{aligned} \partial_\mu F^{\mu\nu} &= \frac{4\pi}{c} j^\nu \\ \epsilon^{\mu\nu\sigma\lambda} \partial_\nu F_{\sigma\lambda} &= 0 \end{aligned}$$

・ 座標変換 (一般相対論に拡張) 共変微分に置き換え

赤道領域の降着円盤の上下に
低密度プラズマが分布する状況

磁場 + プラズマの場合

を流れる電流

ブラックホール自身は、磁場を作らない → 降着円盤が作る

ただし、帯電ブラックホールが自転すると磁場が見える

電場のローレンツ変換 → 磁場となる

BH 内部の電流による磁場発生などは無い

(一般相対論での) 磁場の表現 (2)

・ 電場と磁場を電磁場テンソルで書く

例えば、 $E_x = F^{xt}$

$$B_x = \epsilon_{xtyz} k^t F^{yz} = -F^{yz}$$

・ Black Hole 時空 (遠方の観測者から見た座標系)

$$E_\alpha = F_{\alpha\beta} k^\beta \quad B_\alpha = \frac{1}{2} \sqrt{-g} \epsilon_{\alpha\beta\gamma\delta} k^\beta F^{\gamma\delta}$$

電磁場の4元ポテンシャル A^μ

$$F_{\mu\nu} = \partial_\mu A_\nu - \partial_\nu A_\mu$$

$$\partial_\mu A^\mu = 0 \quad \text{ローレンツ条件}$$

$$\square A^\alpha = (4\pi/c) j^\alpha$$

非同次マクスウェル方程式

磁力線の運動とは？

- 磁場が回転する（プラズマが磁力線に凍結）
- プラズマの回転＝磁力線の回転とみなせる

磁場(磁力線)にトルクが作用する

Znajek condition (1977)

- Lorentz force to act on BH from the outside

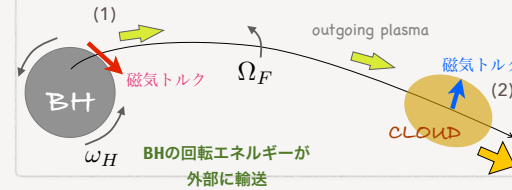
応力 $T_\phi = \frac{1}{4\pi} B_p B_\phi \sim -\frac{(\omega - \Omega_F)}{4\pi\sqrt{-g}} \frac{(A_{\phi,\theta})^2}{\sqrt{\Sigma}}$ The square of mag.field

- Angular Mom./ Energy Flux

$$\mathcal{L}^r = -\sqrt{g_{\phi\phi}} T_\phi \quad \mathcal{E}^r = \Omega_F \mathcal{L}^r$$

もしもBH時空が磁気圏を引きずっている状況なら、

When $B_\phi < 0$ the energy flux streams outward.



磁場も引きずられる

$$A_\phi(r, \theta) = \text{constant} \xrightarrow{\text{磁力線}} \begin{matrix} F_{\theta\phi} & F_{r\phi} \\ (\partial_\theta A_\phi) & (\partial_r A_\phi) \\ \updownarrow & \nearrow \\ B_r, & B_\theta \end{matrix}$$

$$F_{r\theta} \xrightarrow{\quad} B_\phi$$

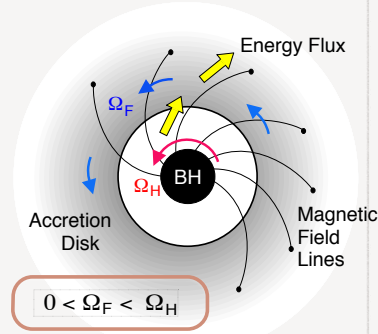
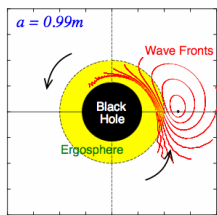
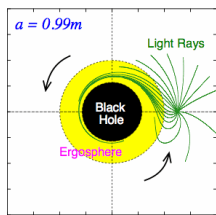
- ブラックホールの時空の引きずりにより
磁場にトルクが作用する
- 磁場による「エネルギー と 角運動量」の輸送

BLANDFORD-ZNAJEK PROCESS

BLANDFORD & ZNAJEK (1977)
ZNAJEK (1977)

MAGNETIC INTERACTION

The dragging of space-time trails the magnetic field lines.



$$0 < \Omega_F < \Omega_H$$

このとき、外向きの電磁場のエネルギーフラックスが発生！
= 「回転エネルギー引き抜き」

BLANDFORD & ZNAJEK PROCESS (1977)

$$T^{\mu\nu} = (\rho + P)u^\mu u^\nu - P g^{\mu\nu} + \frac{1}{4\pi} \left(F^{\mu\delta} F_\delta^\nu + \frac{1}{4} g^{\mu\nu} F^2 \right)$$

(1) Poynting-flux (r -component):

$$\mathcal{E}^r(r, \theta) \equiv T^r_t = \epsilon_0 \frac{E_\theta B_\phi}{\sqrt{-g}}$$

ideal MHD condition

where $\sqrt{-g} = \Sigma \sin \theta$, $\Sigma = r^2 + a^2 \cos^2 \theta$ and $E_\theta = \Omega_F F_{\theta\phi} = \Omega_F A_{\phi,\theta}$

(2) The boundary condition at the horizon : toroidal component of magnetic fields

$$B_\phi^H[\Psi(\theta)] = (\omega_H - \Omega_F) \frac{(r_H^2 + a^2) \sin \theta}{\Sigma_H} (A_{\phi,\theta})_H$$

Znajek condition (1977)

(3) Blandford-Znajek Power (Poynting-flux at the horizon):

$$\mathcal{E}_H^r[\Psi(\theta)] = \epsilon_0 \Omega_F (\omega_H - \Omega_F) \frac{(r_H^2 + a^2)}{\Sigma_H^2} (A_{\phi,\theta})_H^2$$

BZ flux 角速度の差 と 磁場強度 に依存

ENERGY FLUX

$$T^{\alpha\beta} = \left(\rho + \frac{P}{c^2} \right) u^\alpha u^\beta - g^{\alpha\beta} P + \frac{1}{4\pi} \left(F^\alpha_\gamma F^{\gamma\beta} + \frac{1}{4} g^{\alpha\beta} F_\gamma^\delta F^{\gamma\delta} \right)$$

$$T_{em}^{00} = \frac{1}{8\pi} (\mathbf{E}^2 + \mathbf{B}^2) \equiv u_{em} \quad \text{エネルギー密度}$$

$$c \Sigma T_{em}^{0i} e_i = \frac{c}{4\pi} \mathbf{E} \times \mathbf{B} \equiv \mathbf{S} \quad \text{エネルギー密度流速 (ポインティング・フラックス)}$$

POYNTING POWER FOR GRB

Lee+ 1999

Rotational energy of BH

$$E_{rot} = f(a) M_{BH} c^2 \quad f(a) = 1 - \sqrt{(1/2)[1 + \sqrt{1 - a^2}]} \quad (< 0.29)$$

Total BZ energy

$$E_{BZ} = 1.8 \times 10^{54} \epsilon f(a) \left(\frac{M}{M_\odot} \right) \text{ erg} \quad \epsilon = \Omega_F (\omega_H - \Omega_F)$$

time scale

$$\tau \sim \frac{E_{rot}}{B^2 r_H^2 c} \sim 10^3 \left(\frac{10^{15} \text{G}}{B} \right)^2 \left(\frac{M}{M_\odot} \right) \text{ sec}$$

BZ power

$$P_{BZ} \sim 2.0 \times 10^{50} \left(\frac{B}{10^{15} \text{G}} \right)^2 \left(\frac{M}{M_\odot} \right)^2 \text{ erg/sec}$$

e.g., $E_\gamma \geq 3 \times 10^{53} \text{ erg}$ for GRB971214

Znajek Condition (1977)

ここがツボ!

磁場の座標変換 (座標系による成分の違い)

- Boyer-Lindquist coordinate (遠方にいる観測者の系)

$$E_\alpha = F_{\alpha\beta} k^\beta \quad B_\alpha = \frac{1}{2} \sqrt{-g} \epsilon_{\alpha\beta\gamma\delta} k^\beta F^{\gamma\delta}$$

- ZAMO (時空の引きずりと一緒に回転)

$$\bar{E}_\alpha = F_{\alpha\beta} u_{\text{zamo}}^\beta \quad \bar{B}_\alpha = \frac{1}{2} \sqrt{-g} \epsilon_{\alpha\beta\gamma\delta} u_{\text{zamo}}^\beta F^{\gamma\delta}$$

- Kerr-Shild coordinate (ingoing null 系)

$$\tilde{E}_\alpha = F_{\alpha\beta} k^\beta \quad \tilde{B}_\alpha = \frac{1}{2} \sqrt{-g} \epsilon_{\alpha\beta\gamma\delta} k^\beta F^{\gamma\delta}$$

「事象の地平面」での境界条件

- 磁場をアンカーするような“表面”は無い!
ただし、磁場を引きずる (電気抵抗 30Ω に相当)
- 磁力線(磁気面)は地平面を貫通しても良い存在
磁気フラックス: スカラーで表される (座標系によらない)
- 磁場の成分の中には発散するものがある
重力赤方偏移の因子が含まれるため
- トロイダル磁場が non-zero 値をもつ Znajek Condition

表 3.1: BL-ZAMO-KS における電場と磁場の対応 by 高橋ノート

BL	ZAMO	KS Ingoing-null
$E_t = 0$	$\bar{E}_t = 0$	$\tilde{E}_t = 0$
$E_r = \Omega_F F_{r\phi}$	$\bar{E}_r = \frac{1}{\alpha_z} (\Omega_F - \omega) F_{r\phi}$	$\tilde{E}_r = E_r \quad [\tilde{E}^r = E^r]$
$E_\theta = \Omega_F F_{\theta\phi}$	$\bar{E}_\theta = \frac{1}{\alpha_z} (\Omega_F - \omega) F_{\theta\phi}$	$\tilde{E}_\theta = E_\theta \quad [\tilde{E}^\theta = E^\theta]$
$E_\phi = 0$	$\bar{E}_\phi = 0$	$\tilde{E}_\phi = 0$
$B_t = 0$	$\bar{B}_t = -\frac{\omega}{\alpha_z} B_\phi$	$\tilde{B}_t = 0$
$B^r = \frac{G_t}{\sqrt{-g}} F_{\theta\phi}$	$\bar{B}^r = \frac{\alpha_z}{\sqrt{-g}} F_{\theta\phi}$	$\tilde{B}^r = B^r \quad [\tilde{B}_r = B_r - \frac{a}{\Delta} B_\phi]$
$B^\theta = \frac{-G_t}{\sqrt{-g}} F_{r\phi}$	$\bar{B}^\theta = \frac{-\alpha_z}{\sqrt{-g}} F_{r\phi}$	$\tilde{B}^\theta = B^\theta \quad [\tilde{B}_\theta = B_\theta]$
$B_\phi = \frac{G_\phi}{\sqrt{-g}} F_{\theta r}$	$\bar{B}_\phi = \frac{1}{\alpha_z} B_\phi$	$\tilde{B}_\phi = B_\phi$

(2) 表 3.1 より、 $\tilde{B}_r = (-1/\Delta)[\Sigma B^r - a B_\phi]$ である。ここで、 \tilde{B}_r は地平面で有限値を持つため、地平面近傍で $[\Sigma B^r - a B_\phi] \sim O(\Delta)$ であることがわかる。これより、トロイダル磁場についての地平面での境界条件

Znajek condition (1977)

$$(B_\phi)_H = \frac{\Sigma_H}{a} (B^r)_H = \frac{\Sigma_H}{a} \left(\frac{G_t}{\sqrt{-g}} F_{\theta\phi} \right)_H = \frac{2mr_H \sin\theta}{\Sigma_H} (\Omega_F - \omega_H) F_{\theta\phi}^H \quad (3.32)$$

を得る。

(注) BL 系での B_ϕ について: horizon 近傍での $F_{\theta r}$ の振舞いについては、BL 系での議論のみでは不明である。Ingoing 系での境界条件 (この系での磁場は発散しない) を考慮することで、 $F_{\theta r} \sim O(1/\Delta)$ のように発散する量であることがわかる。

NEGATIVE ENERGY MHD INFLOWS

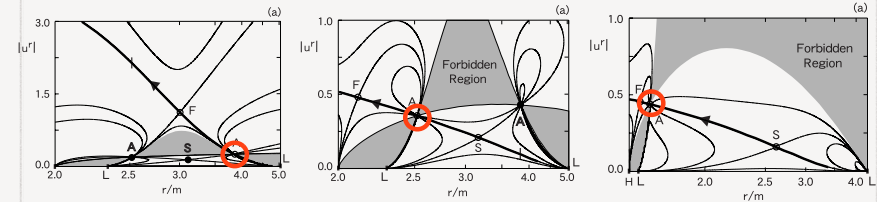
TAKAHASHI ET AL. (1990)

MHD ACCRETION ONTO BLACK HOLES

BH: slowly rotating

BH: slowly rotating

BH: rapidly rotating



hydro-like

magneto-like

magneto-like

weak-magnetic field limit
=> Hydro Dynamical Flow

strong-magnetic field limit
=> Force-free magnetosphere

Some critical points make regularity conditions.

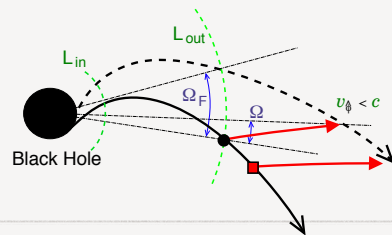
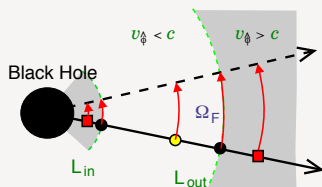
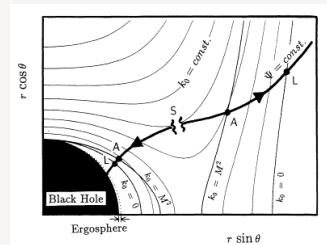
Plasma source => Slow Point => Alfvén P. => Fast P. => Event Horizon (boundary conditions)

MHD FLOWS IN A BLACK HOLE MAGNETOSPHERE

inner/outer Light surfaces

Alfvén points

Magnetosonic points



NEGATIVE ENERGY INFLOWS

MHD flow のエネルギー

$$E = \left(\frac{g_{tt} + g_{t\phi}\Omega_F}{\alpha} \right)_A e$$

MHD flow の角運動量

$$L = \left(\frac{-g_{\phi\phi}}{\alpha} \right)_A (\Omega_F - \omega_A) e$$

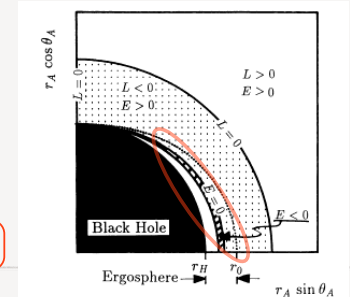
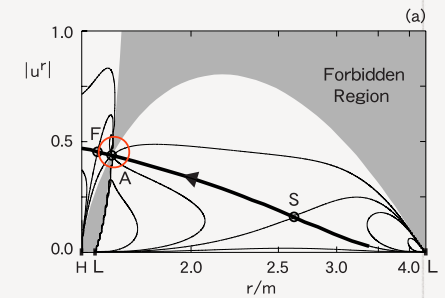
Total-energy in rotational frame

$$e \equiv E - \Omega_F L > 0$$

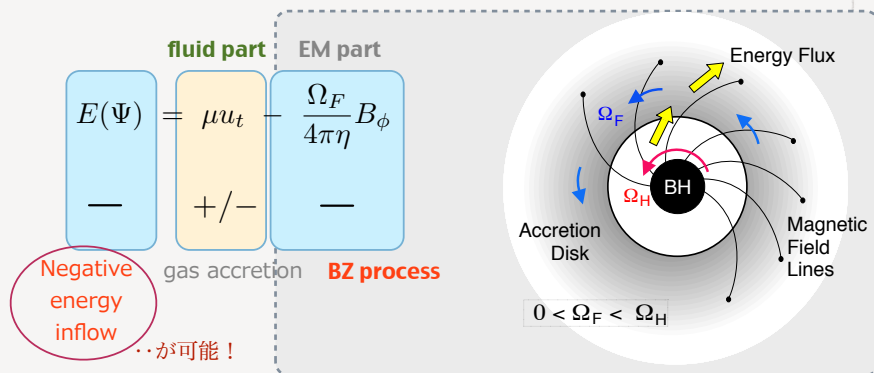
Gravitational-Lorentz factor

$$\alpha \equiv g_{tt} + 2g_{t\phi}\Omega_F + g_{\phi\phi}\Omega_F^2$$

$$(g_{tt} + g_{t\phi}\Omega_F)_A < 0 \Rightarrow E < 0$$



When the **Alfven point** locates inside the **Ergosphere**,
Energy Extraction from a Rotating BH
by MHD Inflows is possible. TAKAHASHI + 1990



This situation would be possible in the magnetically-dominated BH magnetosphere .

引き抜かれたエネルギー起源の現象を
観測するには？

ディスカッション： エネルギー引き抜きのための総合的理解

高橋真聡（愛教大）

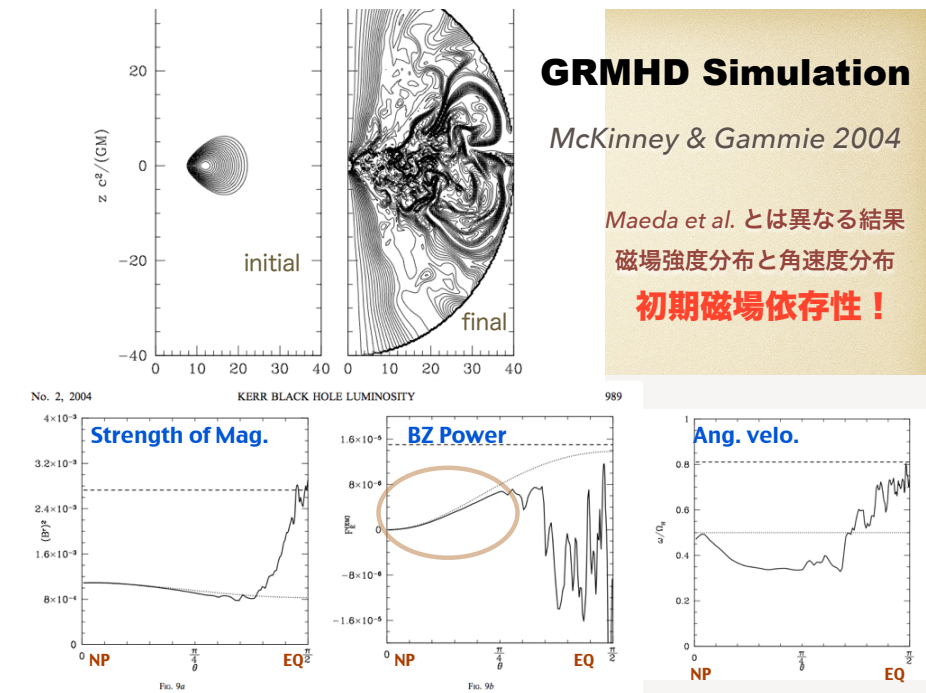
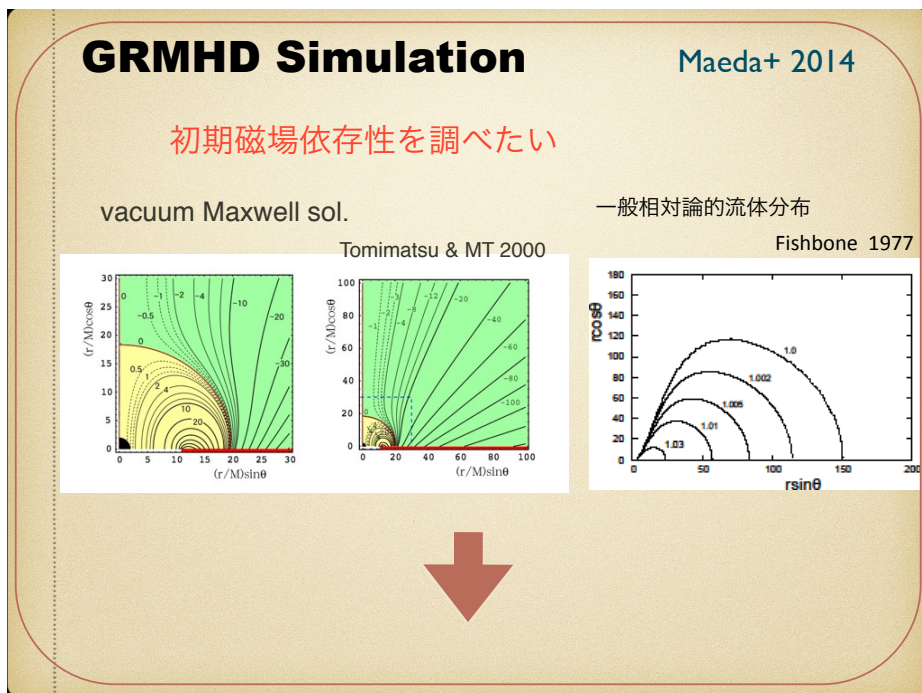
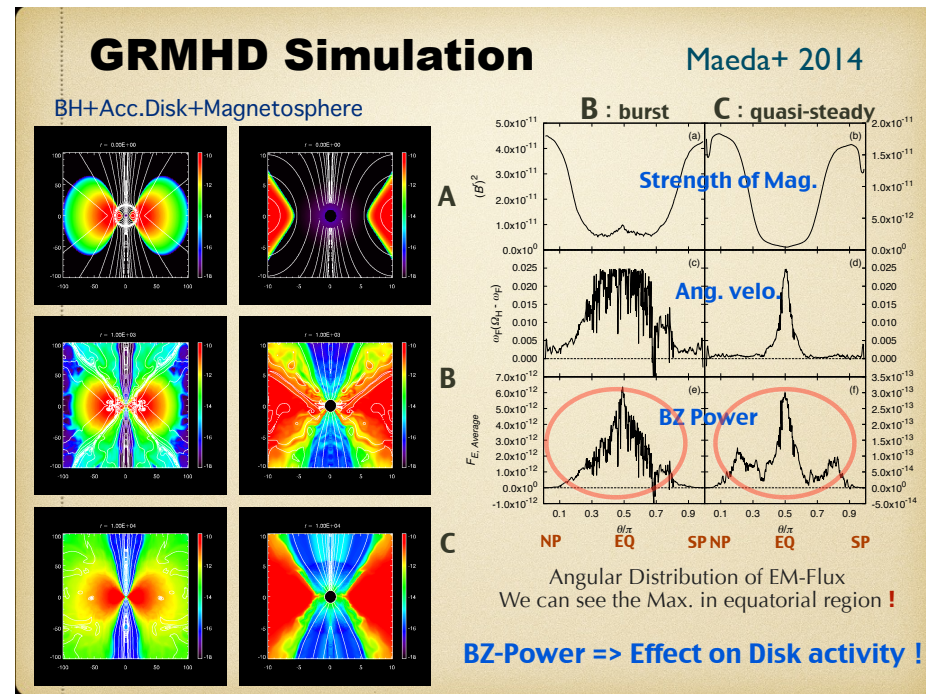
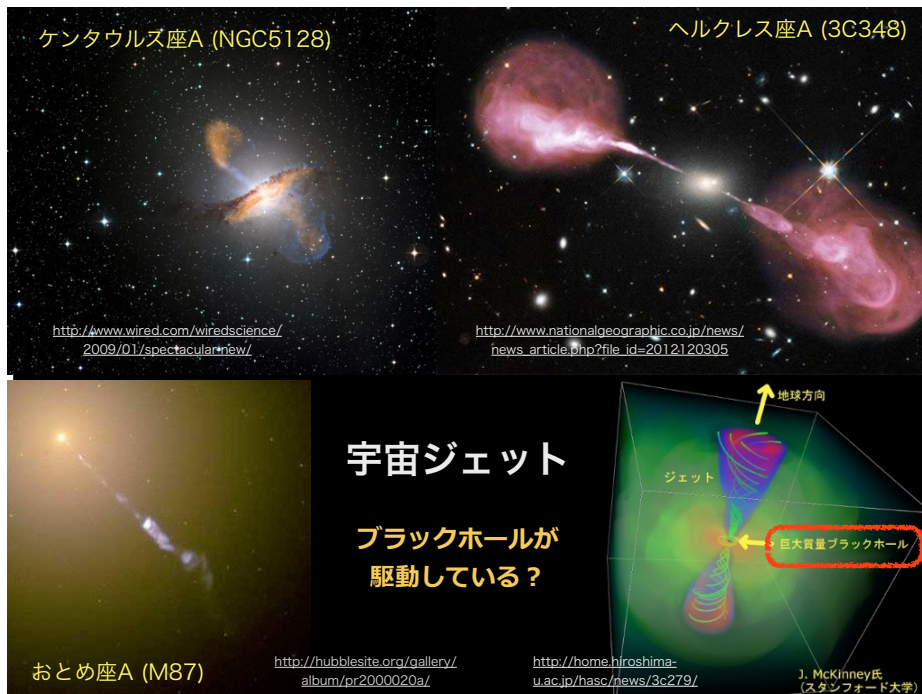
では、始めましょう・・・

APPLICATIONS

Penrose Process : 粒子加速・**宇宙線**の起源

BZ-Power : **宇宙ジェット**のエネルギー源
高エネルギー放射
(コロナ・降着ガス円盤)

Superradiance : ブラックホール爆弾
降着ガス円盤の不安定性



ブラックホール・オーロラ

AGN BH近傍のスペクトルを説明?

Fe-line (光源として)

soft X-ray excess (inverse Compton)

power-law component (inverse Compton)

GENERAL RELATIVISTIC MAGNETOHYDRODYNAMICS

ランキン=ユゴニオ条件

■ PARTICLE NUMBER FLUX

$$U \equiv nu^\alpha l_\alpha$$

number density four-velocity

ショック面に垂直な単位ベクトル

■ NORMAL COMP. OF THE MAGNETIC FIELD

$$B_\perp \equiv B^\alpha l_\alpha$$

magnetic field

■ ENERGY-MOMENTUM FLUX

$$W \equiv \frac{\mu}{n} U^2 + P + \frac{B^2}{8\pi}$$

relativistic enthalpy

pressure

$$B^2 \equiv \alpha B_p^2 + \frac{B_\phi^2}{\rho_w^2}$$

gravitational Lorentz factor

ショック面前後で U, B_\perp, W が保存する

上流 → 下流が決まる

衝撃波で加熱：BH近傍からの放射 (観測量となる)

Plasma Source
(accretion disk / corona)

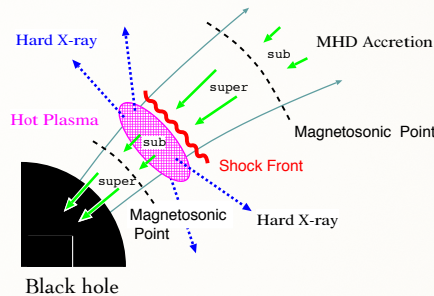
↓
Slow magnetosonic point

↓
Alfven point

↓
Fast magnetosonic point

↓
shock-free flow

↓
Event Horizon



→ MHD Shock

shocked flow

↓
2nd Fast magnetosonic point

MHD ACCRETION ONTO BH

HOT PLASMA REGION FOR HIGH ENERGY RADIATION

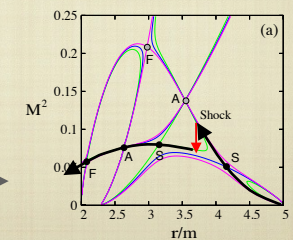
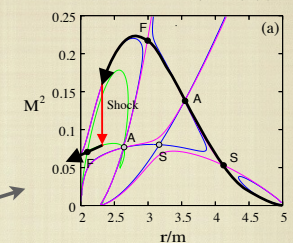
■ FAST MAGNETOSONIC SHOCK

● HYDRO-LIKE

● MAGNETO-LIKE

■ SLOW MAGNETOSONOC SHOCK

TAKAHASHI ET AL. 2006



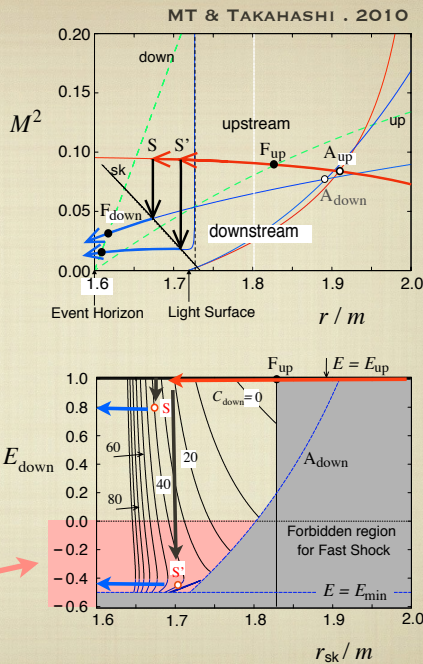
BLACK HOLE MHD SHOCK

FAST MAGNETOSONIC SHOCK IN ERGOSPHERE

COLD UPSTREAM → COLD DOWNSTREAM

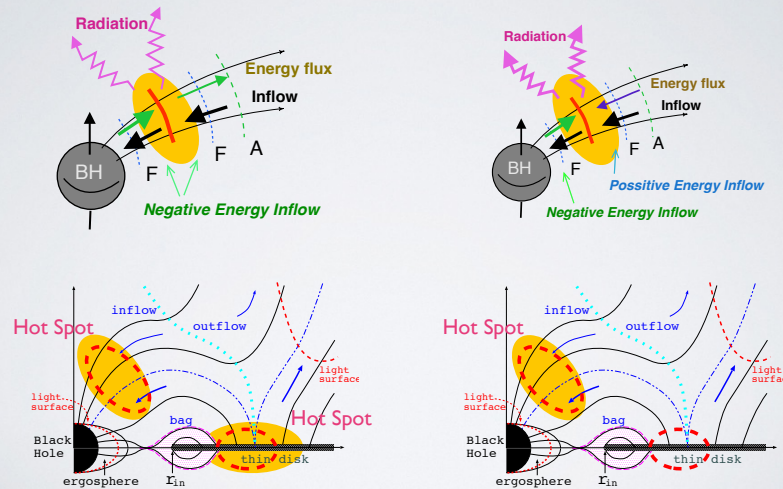
S' : $\Delta E > mc^2$

NEGATIVE ENERGY INFLOW



Hot Spot powered by Rotating BH

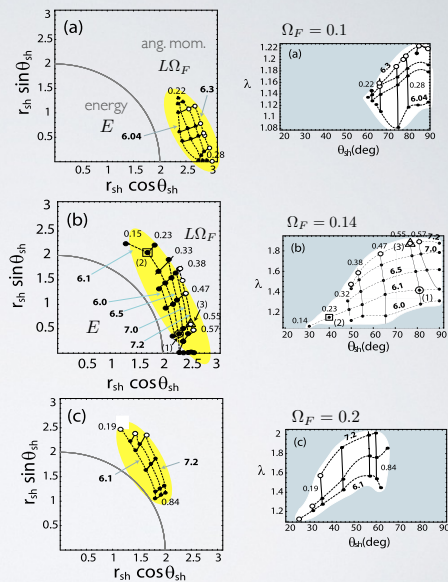
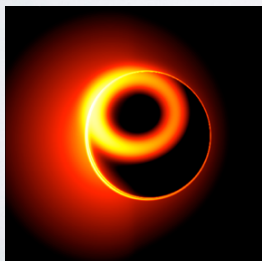
高エネルギー放射 = 観測できる!? 鉄輝線の光源?



MHD Shock : Adiabatic cases

Takahashi et al. (2006)
Fukumura et al. (2007)

for example , , ,



Acceptable shock locations

SOURCE - REFLECTOR Theoretical Toy-Model

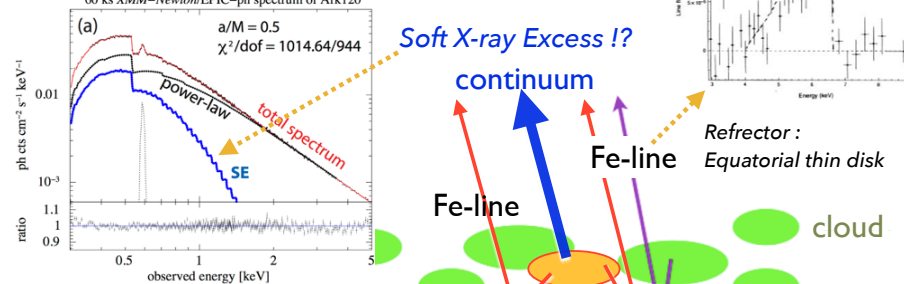
Near the BH Horizon...

Source : MHD Shock

Hot plasma region = BH Aurora

Seyfert 1 (NLS1) : Arc 120

60 ks XMM-Newton/EPIC-pn spectrum of Ark120



Fukumura, MT + 2016

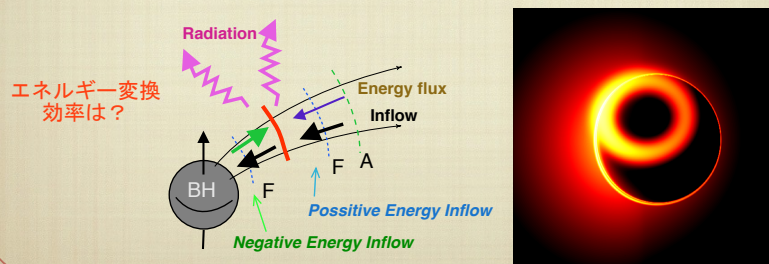
Haba2013

Black Hole Accretion Disk

BLACK HOLE AURORA

- HOT SPOT IN MAGNETOSPHERE
- VERY CLOSE TO THE EVENT HORIZON !
- ULTRA-HIGH ENERGY RADIATION

NOTE: 10-20% ESCAPE/ GR RED-SHIFT EFFECT
 --> INFORMATION OF SPACETIME ?



今後に向けて

- BH時空の理解
 重力赤方偏移・時空の引きずり効果の発現の仕方
- BH回転エネルギー放出の統合的記述？
 粒子として、波として、流体/磁気流体として... ?
- 何を観測すべきか？
 BH Shadow, Fe line, Ultra High-Energy radiation

BH回転エネルギーの引き抜き機構

- Penrose process
 粒子/光子 負のポテンシャル領域が存在すること
 磁気圏の場合 Ergosphere外でも可能
- Superradiance radiation
 波 ergoregion / super-sonic region が存在すること
- Blandford-Znajek (BZ) process
 磁場 磁力線がBHの自転方向に引きずられていること
- Negative Energy MHD inflows
 磁気流体 流体に比して、磁場が優勢である時に可能